

10. Orgány tubulární

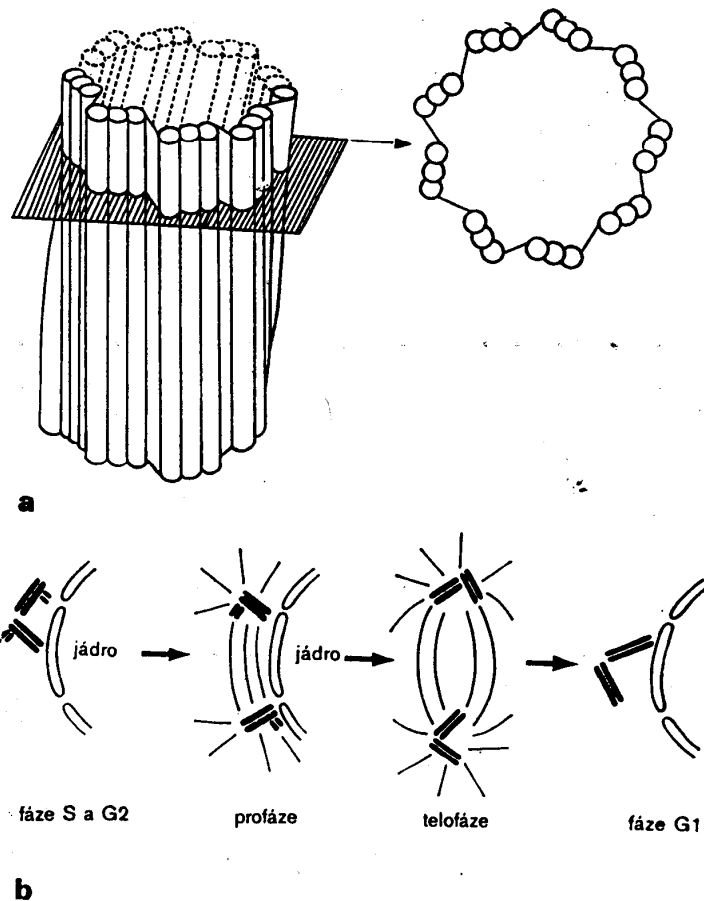
a schéma stavby centriolu; vlevo celkový pohled, vpravo příčný řez v označené rovině;
i změny centriolů během buněčného cyklu.

V interfázni buňce se vedle každého z obou centriolů tvořících diplozóm vytvoří malý pro-centriol, který během mitózy dosáhne velikosti normálního centriolu; každá dceřiná buňka pak obsahuje opět jeden normální diplozóm;

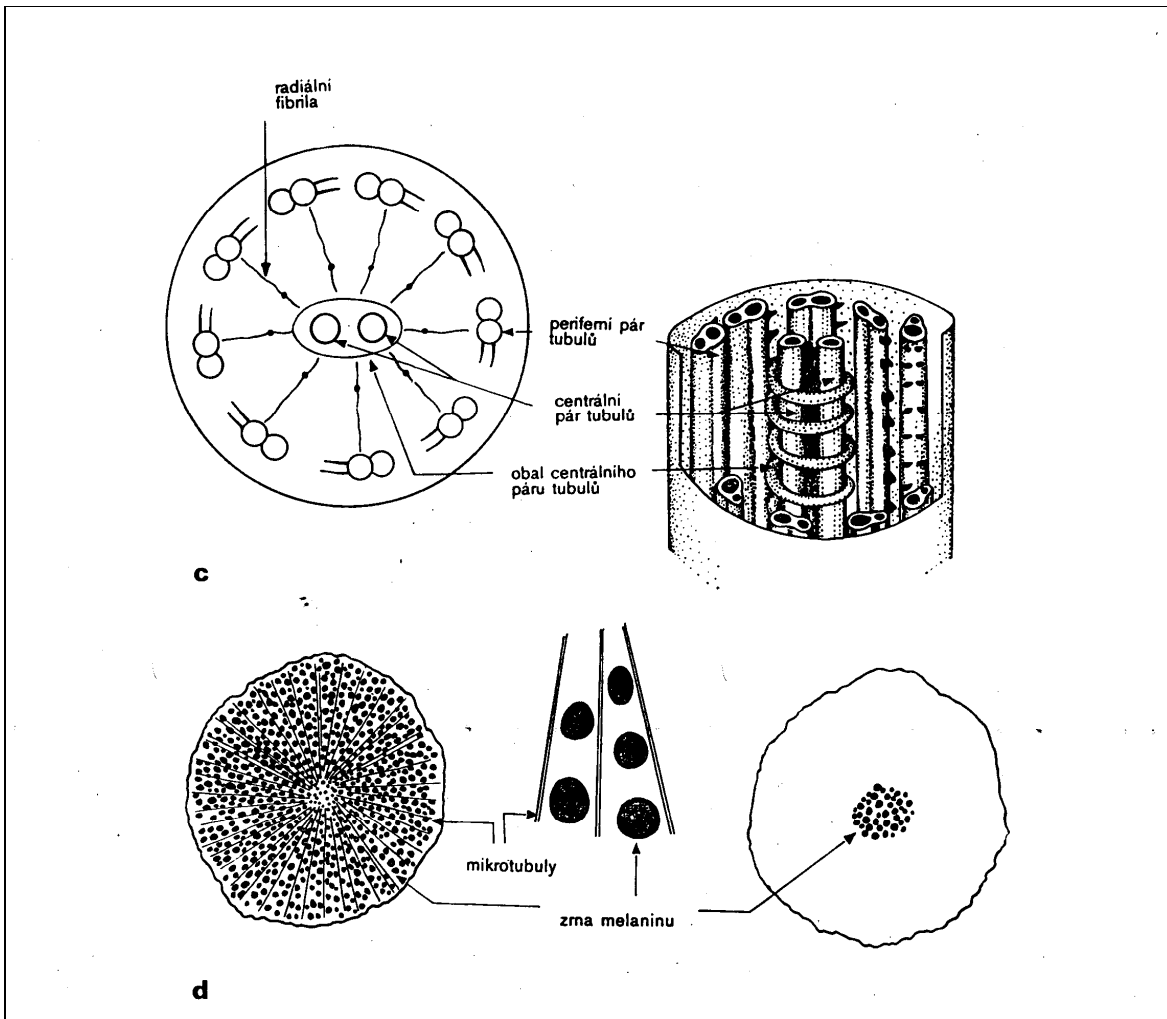
c stavba brvy v příčném průřezu;

d úloha mikrotubulů při přesunu pigmentu v pigmentových buňkách. Vlevo je znázorněn stav, při němž jsou pigmentová zrna rozptýlena mezi radiálně uspořádanými mikrotubuly v buňce. Uprostřed je zakreslen detail mikrotubulů a pigmentových zrn a vpravo stav, při němž jsou pigmentová zrna koncentrována v centru buňky; mikrotubuly v tomto případě nejsou diferencovány.

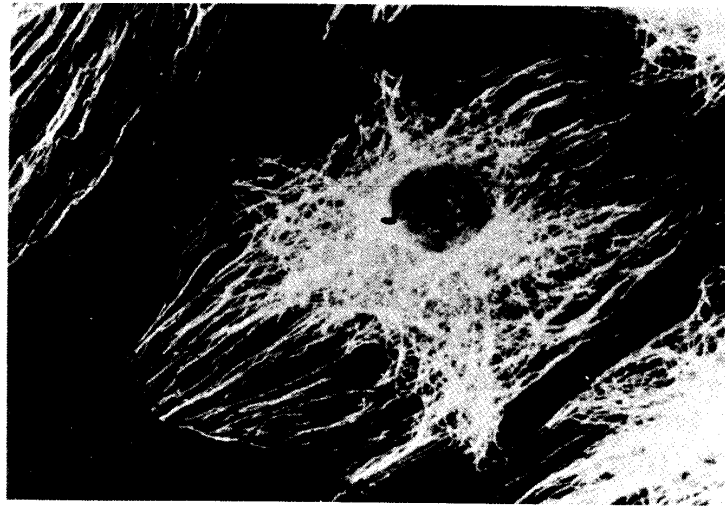
Podle Mailleta.



Zdroj: Pravda a kol., 1982

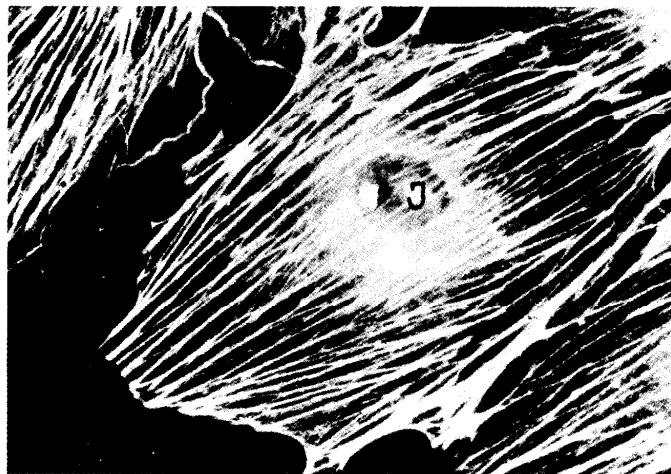


Zdroj: Pravda a kol., 1982



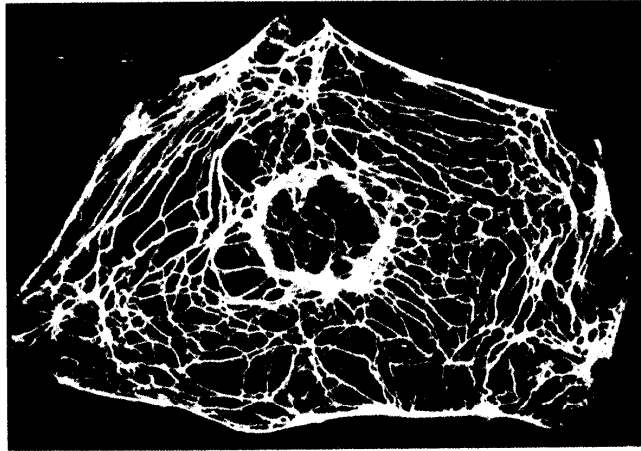
Obr. 48 Mikrotubuly v buňce PtK2 linie myšice. Mikrotubulární síť vizualizována imunofluorescencí.
J - Jádru bunky.

Zdroj: Paleček, 1987



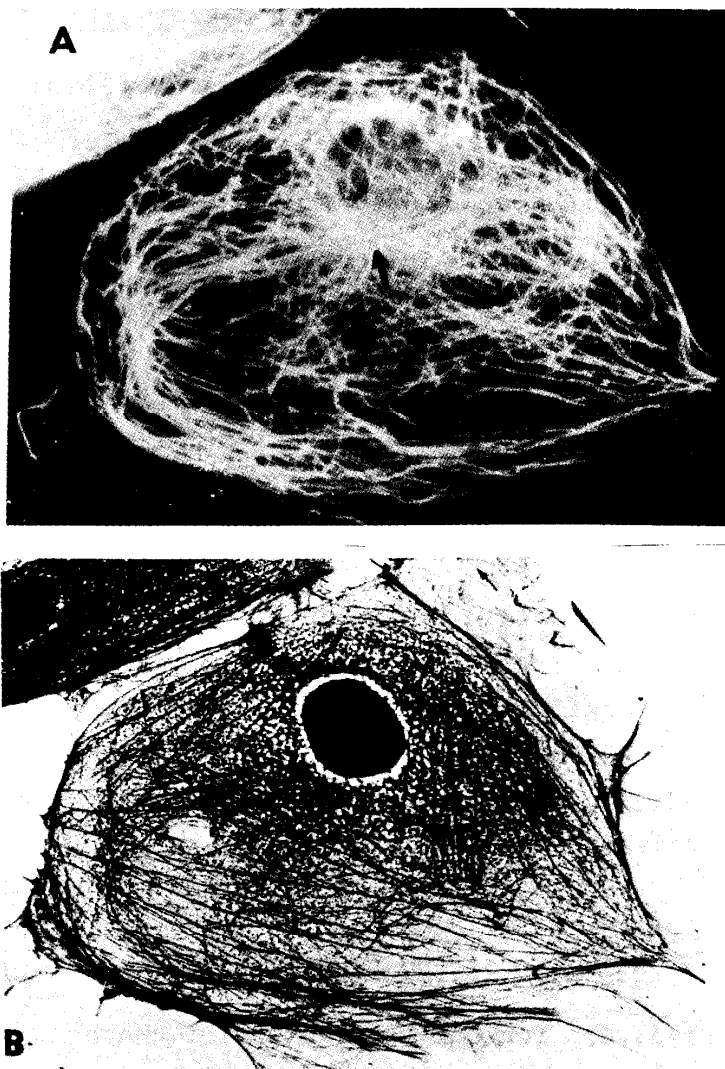
Obr. 49 Síť mikrofilament spojená do silnějších svazků ve stejné buňce jako na obr. 48. Imunofluorescence.
J - Jádru bunky

Zdroj: Paleček, 1987

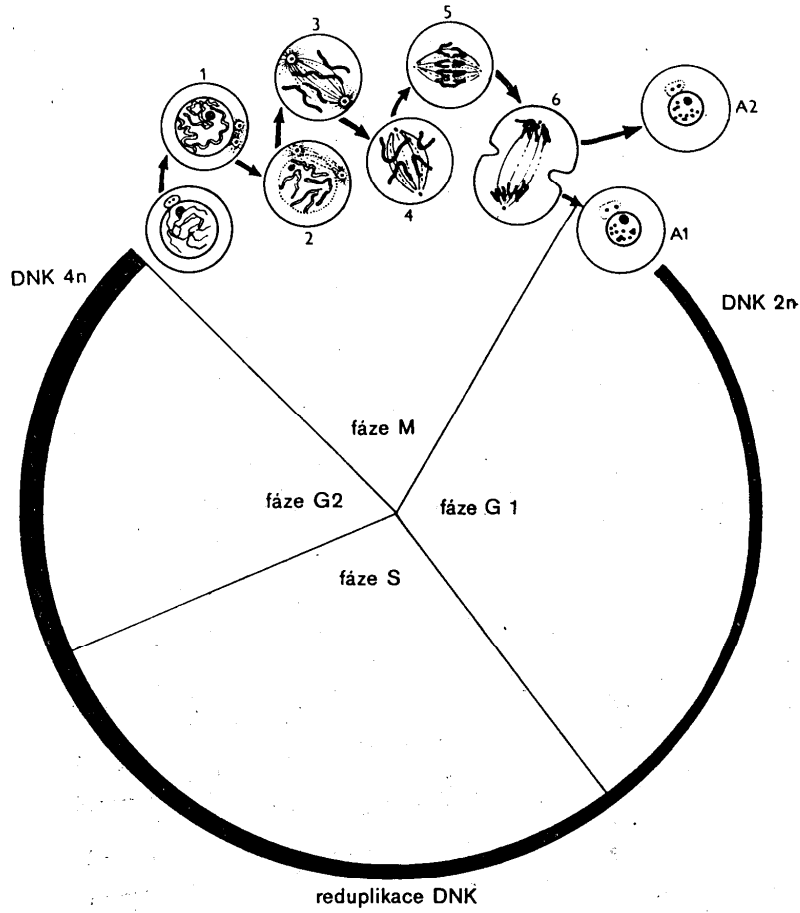


Obr. 50 Fibrilární síť intermediálních filament cytokera-
tinového typu v sekundární buněčné kultuře ledvin-
ných buněk myšice. Imunofluorescenční mikroskopie

Zdroj: Paleček, 1987



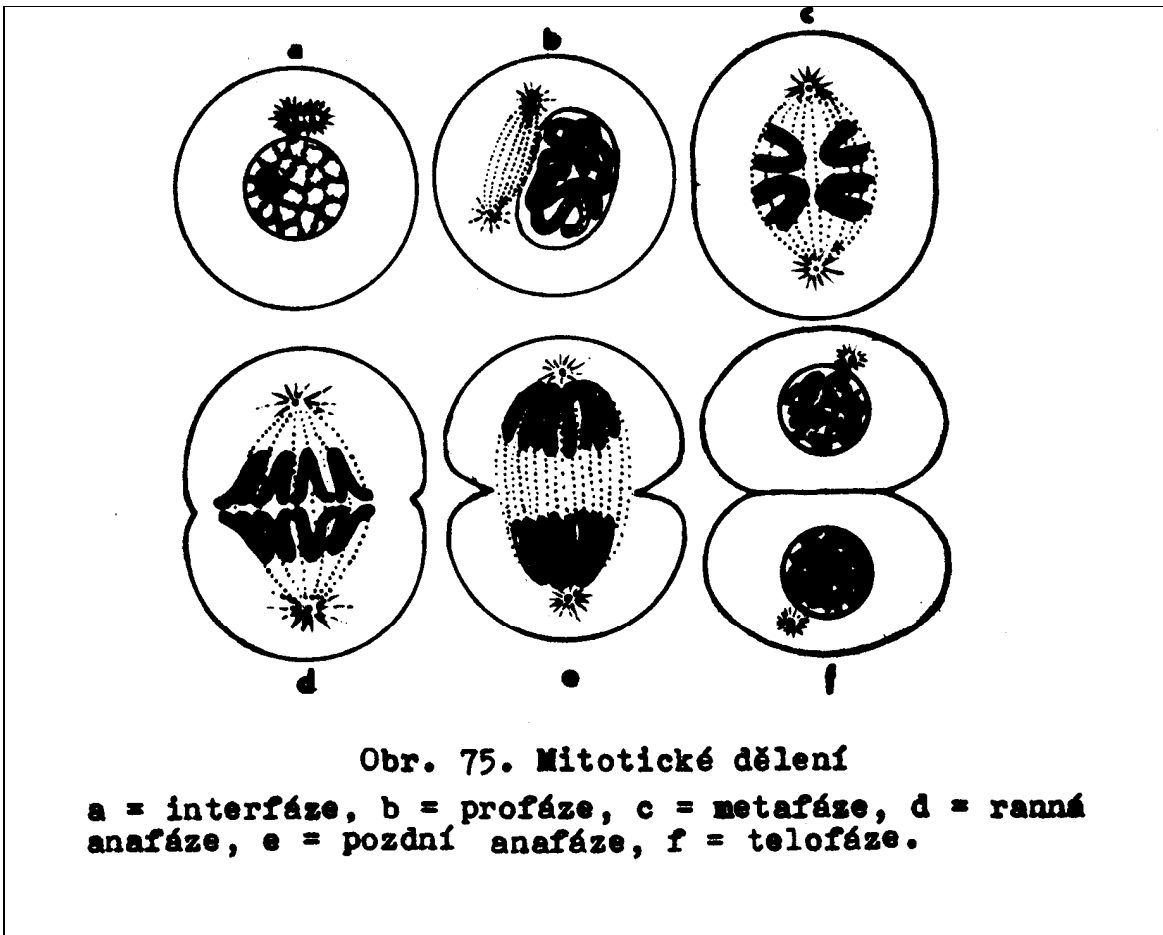
Obr. 51 Fluorescenční (A) a elektronová (B) mikrofotografie téže bunky PtK2 linie. V prvním případě bylo použito specifického antiséra proti tubulinu a fluorochromu, poté byl preparát obarven pro potřeby elektronové mikroskopie uranyl acetátem. Fluorescenční fibrily souhlasí s rozmístěním fibril v TEM a mají průměr 55 nm.



12. Buněčný cyklus

1 profáze; 2 a 3 rané stadium metafáze; 4 konec metafáze; 5 anafáze; 6 telofáze. A_1 a A_2 jsou nově vzniklé dceřiné buňky. Zesilující se křivka znázorňuje stoupající množství DNK během interfáze. Podle Mailleta.

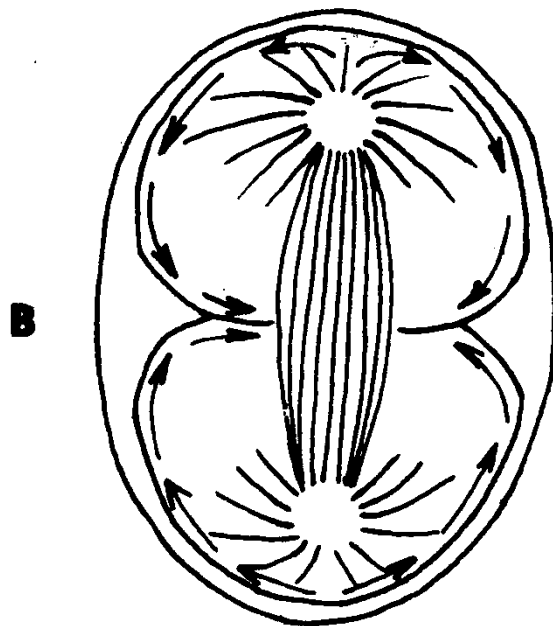
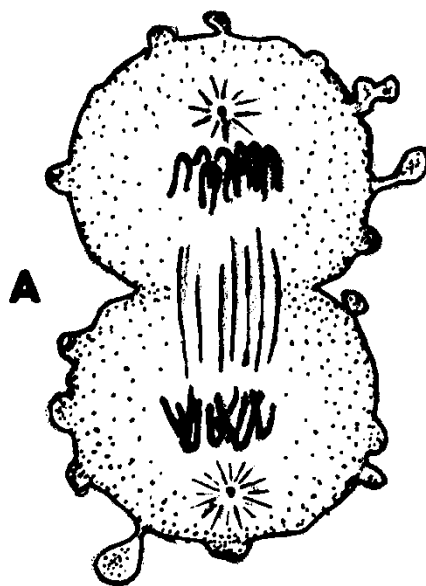
Zdroj: Pravda a kol., 1982



Zdroj: Knoz, 1990

Typ buňky	Profáze	Metafáze	Anafáze	Telofáze	Mitotický čas
Buňky myší sleziny	20 - 35'	6 - 15'	8 - 14'	9 - 26'	43 - 90'
Fibroblasty z jater čolka	18' i. více	17 - 38'	14 - 26'	28'	77 - 100'
Bunky sarkomu MTK-1	10'	44'	5'	18'	77'
Neuroblasty kobylinky	102'	13'	9'	57'	181'

Zdroj: Knoz, 1990



Obr. 76. Cytokinéze
 A - zneklidnění povr-
 chové plazmy; B - fon-
 tánovité proudění plaz-
 my.

Zdroj: Knoz, 1990